

Jaromír Juna :

Neutronová spektrometrie.

(Písemná práce k aspirantskému minimu).

Práce obsahuje stručný přehled současného stavu neutronové spektrometrie, převážně založené na měření doby letu neutronů. V závěru práce je návrh mechanických selektorů ÚJF a zdůvodnění volby jednotlivých parametrů.

O b s a h .

	Str.
Neutronové spektrum	1
Krystalové spektrometry	1
Methoda doby průletu	3
Zařízení na vytváření neutronových záblesků	4
a/ Mechanické selektory	5
b/ Urychlovače v pulsním režimu	9
Detektory	12
Methoda zpomalování neutronů v olovu	13
Časové analysátory	13
Spektrometry ÚJF	18
Dráha neutronů v selektoru	18
Kolimace	19
Volba typu selektoru	20
Literatura	33
Obrázková příloha	

Neutronové spektrum.

Neutronovým spektrem nějakého zdroje neutronů obyčejně rozumíme rozdělení neutronů podle energie. Při grafickém znázornění spektra neutronů nazáme na osu souřadnic energii, na osu ~~právě~~ počet neutronů, připadajících na velmi malý interval energie od E do $E+dE$. Při tom počet neutronů obyčejně vztahujeme na jednotku času, na jednotku plochy zdroje neutronů, nebo výhovou jednotku zdroje, jednotkový prostorový úhel, nebo někdy také na prostorový úhel 4π .

Někdy se v literatuře, hlavně ve spojitosti s metodou doby průletu, udává rychlostní spektrum neutronů, nebo spektrum doby letu. U grafického znázornění těchto spekter vynášíme na osu souřadnic u rychlostního spektra rychlosť neutronů, u průletového spektra dobu letu, příp. dobu letu přepočtenou na lm. Vztah mezi energiovým, rychlostním a průletovým spektrem je dán vztahy mezi energií, rychlostí a dobou letu neutronu.

Nebereme-li v úvahu některé málo rozšířené a nepříliš výhodné metody získávání informací o neutronových spektrech (monochromatické filtry ①, ②, ③, ④, ⑤, resonanční rozptyl ⑥, odražené protony ⑦), provádí se dnes měření neutronových spekter hlavně dvěma metodami : t.zv. metodou doby letu a kohorentní difrací na krystalových mřížkách.

Krystalové spektrometry jsou analogické ke krystalovým spektrometřím pro X záření. Neutronum s impulsem p je přiřazena vlnová délka $\lambda = \frac{h}{p}$. Kohorentní difracce takových neutronů je pak dáná Braggovým vztahem

$$n\lambda = 2d \sin \Theta \quad (1).$$

Ober energií, na který je krystalový spektrometr použitelný, je značně omezen. Měření je možno dělat jen se spektrem jednoho řádu (obyčejně prvního). V oblasti malých energií je omezení dáné vzájemným překrýváním spekter různých řádů v navzájem srovnatelných intensitách, na straně vyšších energií je použití omezeno příliš malými úhly odrazu.

Měření spektra prvního řádu je umožněno v zásadě třemi okolnostmi :

- a) Intensita odrazu se zmenšuje s rostoucím řádem odrazu. Souvisí to s tím, že malé odchylky reálné krystalové mřížky od ideální (na př. Brownův pohyb) jsou занedbatelné vzhledem k odrazu 1. řádu, ale způsobují inkoh-

renici při odrazu vyšších řádů.

- b) U některých krystalů (na př. LiF) je mříž tvořena jednak Li, jednak F. Fáze odražených vln od Li se liší o π od fáze vln odražených od F pro sudé řády odrazu, které se tak do jisté míry interferencí ruší.
- c) Protože energie odražených neutronů je úměrná čtverci řádu odrazu, je výsledné spektrum před dopadem na krystal upravit tak, aby energie odrazu prvého řádu odpovídala maximu dopadajícího spektra. U reaktorového spektra $\frac{1}{E}$ je to dáno automaticky, u jiných spekter je možno tuto podmínku splnit vhodnými filtry.

Rozlišovací schopnost krystalových spektrometrů vyplývá z Braggovy rovnice a je dána

$$n\Delta\lambda = 2d \cos \Theta \Delta\Theta \quad (2)$$

nebo

$$\frac{\Delta\lambda}{\lambda} = \operatorname{ctg} \Theta \Delta\Theta \quad (3)$$

Pro krystal LiF a odrazové roviny (111) je $d = 2,32 \text{ \AA}$. Odrazový úhel vychází pro neutrony 1 eV $3,5^\circ$, pro 100 eV $0,35^\circ$. Odrazový úhel pro 100 eV je stejného řádu jako kolimační úhel nejlepších užívaných kolimátorů. Kolimační odchylky $0,1^\circ$ způsobují rozlišovací schopnost v energiích $\frac{\Delta E}{E} (\sim 2 \frac{\Delta\lambda}{\lambda})$ asi 50% při 100 eV.

Kolimační potíže nejsou jediným omezujícím faktorem pro použití krystalových spektrometrů (přesněji monochromátorů) pro vyšší energii. Odrazivost krystalu klesá s energií jako $\frac{1}{E}$. Vezmeme-li v úvahu průběh neutronového spektra v resonanční oblasti dávaného reaktorem ($\frac{1}{E}$) a závislost účinnosti většiny detektorů na energii $(\frac{1}{E^2})$, má celkový pokles četnosti v závislosti na energii průběh $\frac{1}{E^3}$.

Krystalový monochromátor poprvé postavil Zinn (8). V Clintonské laboratoři pracuje krystalový monochromátor s ohnutým krystalem. Rozlišovací schopnost je 6% při 2 eV. V kanadské laboratoři v Chalk-River byl postaven krystalový spektrometr se dvěma krystaly pro další zvětšení rozlišovací schopnosti (9). Krystalový spektrometr s vysokou rozlišovací schopností (0,4% pro 1 eV, 2,5% pro 50 eV) je v Brookhavenské laboratoři (10). Pracuje v oboru 0,02-60 eV.

Metoda doby průletu.

Vztah mezi energii neutronu a jeho rychlostí umožňuje určovat energiová spektra prostřednictvím spekter rychlostních. Rychlosť neutronu se určuje z povlaku dráhy, kterou neutron proletěl, a doby, kterou k tomu potřeboval. Zařízení na měření průletových spekter neutronů se skládá ze dvou základních částí :

- a/ zařízení na tvorjení krátkého neutronového záblesku,
- b/ zařízení, určujícího dobu letu jednotlivých neutronů.

Aby bylo možno porovnat výsledky různých spektrometrů s různými průletovými dráhami, přepočítává se průletové spektrum na dobu letu na vzdálenost 1 m. Z toho důvodu se také někdy udává za rozlišovací schopnost spektrometru neurčitost v údaji doby letu na 1 m vzdálenosti. Rychlosť (v m/sek), energie (v eV) a doba letu na vzdálenost 1 m (v μ sec/m) jsou dány těmito jednoduchými vztahy :

$$N = \frac{10^6}{L} \quad (4)$$

$$E = 5,226435 \cdot 10^3 \cdot \frac{1}{L^2} \quad (5)$$

$$L = 72,29616 \cdot \frac{1}{\sqrt{E}} \quad (6)$$

(Konstanty jsou počítány na základě konstant, uvedených v Rev.Mod.Phys. 25, 691/1952/).

Při návrhu zařízení pracujícího metodou doby letu je nutné především dbát toho, aby mezi jednotlivými záblesky uplynula větší doba, než je rozdíl doby letu nejmalojších a nejrychlejších neutronů na měřicí bazi. Je-li v_1 rychlosť nejmalojších a v_2 nejrychlejších neutronů a měřicí base λ , pak je tato podmínka pro opakovací frekvenci f dána vztahem

$$\frac{\lambda}{v_1} - \frac{\lambda}{v_2} < \frac{1}{f} \quad (7)$$

Nepřesnost v určení doby letu je určena třemi složkami :

trváním záblesku ΔT_z , neurčitostí v okamžiku detekce ΔT_d a neurčitostí měřicí base $\Delta \lambda$.

Tyto tři veličiny způsobují nepřesnost v době letu

$$\Delta L = \Delta T_z + \Delta T_d + \Delta \lambda \frac{T}{\lambda} \quad (8).$$

Veličinu $\Delta \frac{T}{\lambda}$ je obyčejně možno zanedbat. Pokud máme ΔT_2 a ΔT_d dostatečně v moci, je výhodné volit $\Delta \frac{T}{\lambda} = \Delta T_d$.

Neurčitost doby letu na 1 m pak je určena vztahem

$$\Delta T = \frac{\Delta \frac{T}{\lambda}}{\lambda} \quad (9)$$

a má rozhodující vliv na rozlišovací schopnost spektrometru.

V definici rozlišovací schopnosti spektrometru zatím není jednotka. Zhruba možno říci, že je to položka spektrální čáry doby letu na 1 m pro monoenergetické neutrony; Havans (11) zanedbává $\Delta \frac{T}{\lambda}$ a definuje rozlišovací schopnost R jednoduchým vztahem

$$\frac{1}{R} = \frac{\Delta T_2 + \Delta T_d}{2\lambda} \quad (10).$$

Sovětští autoři Mostovoj, Pevzner, Citovič (12) používají výrazu málo odlišného. Pro $\Delta \frac{T}{\lambda}$ používají approximovaného výrazu

$$\Delta \frac{T}{\lambda} = \frac{2\Delta T_2 + \Delta T_d}{4} \quad \text{při } \Delta T_2 \geq \frac{5}{2} \Delta T_d \quad (11)$$

a

$$\Delta \frac{T}{\lambda} = \Delta T_2 + \Delta T_d - \sqrt{\Delta T_d(2\Delta T_2 - \Delta T_d)} \quad \text{při } \Delta T_2 \leq \frac{5}{2} \Delta T_d \quad (12)$$

Rozlišovací schopnost spektrometru pak je definována

$$\frac{1}{R} = \frac{\Delta \frac{T}{\lambda}}{\lambda} \quad (13).$$

Zařízení na vytváření neutronových záblesků

je možno rozdělit v zásadě do dvou hlavních skupin:

a/ Mechanické přerušovače mohutných toků neutronů vyletujících z reaktoru (choppers, shutters). Budeme je označovat vžitým termínem "mechanické selektory", i když tento termín v mnoha případech naprostě nevystihuje podstatu díje.

Nebo to jsou

b/ pulsované generátory neutronů obyčejně urychlovače v pulsním režimu.

Mechanické selektory.

Pro návrh mechanického selektoru je vedoucí ideou dosažení maximální rozlišovací schopnosti. Podle definice je možno rozlišovací schopnost ^{ZLEPŠOVAT} určovat zvětšováním L , nebo zmenšováním ΔT_z a ΔT_d . Při tom je současně nutno respektovat požadavek, aby naměřený efekt značně převyšoval pozadí a aby světlonoš přístroje byla taková, aby bylo celé měření možno provést v době, po kterou je možno zaručit neproměnnost neutronového toku i spektra. Dále je nutno brát zřetel na různá hlediska experimentu ; měření svazků, jichž je malé množství k disposici, vyžaduje konstrukce selektoru s úzkým svazkem neutronů /small beam, chopper/ (1), měření účinných průlezů štěpení a nepružných rozptylů vyžaduje poměrně velkou intenzitu neutronů v místě detektoru. Tyto požadavky vždy nutí k určitému kompromisu.

V literatuře ojedinělá /a ne právě šťastná/ koncepce mechanického selektoru neutronů je popsána v referátě ze Ženevské konference P 357. Selektor tohoto typu je postaven u reaktoru v Saclay. Je to ocelový kotouč s průměrem 1 m /váží 450 kg/, otáčený rychlostí 3.000 ot/min. Na jeho obvodu jsou v absorpční hmotě /tvorené karbidem boru tmeleným aralgitem/ vytvořeny štěrbiny dlouhé 5 cm. Jsou výměnné, se šírkami $1\frac{1}{2}$ mm, 6 mm, 16 mm. Kolimátor je ze stejného materiálu a jeho štěrbiny jsou stejných rozměrů. Zařízení dává neutronové záblesky s pološírkou 10, 40 a 100μ sec. Měřicí base je 7 - 8 m. Tento rotor bývá doplněn druhým diskem s kadmiiovými výsečemi, otáčející se ve vzdálenosti 80 cm za prvním diskem. Z Maxwellova spektra propuštěného prvním rotorem se propouští jen neutrony určitých energií a dosahuje se tak jisté monochromatisace. Tohoto zařízení lze použít ke studiu neelastických rozptylů. Přístroj má celkem běžnou rozlišovací schopnost a podle vyobrazení je značně těžkopádný.

Dnes se v podstatě používá 4 druhů mechanických selektorů. První - méně rozšířený způsob - používá na přerušování toku neutronů rotujícího válce s osou rotace rovnoběžnou se směrem letu neutronů. Na povrchu válce jsou vyfrézovány šroubovickové štěrbiny. Šroubovice se postupně rozšiřuje a je navršena tak, aby byly při daných otáčkách válce propouštěny jen neutrony

OBORU

určitého energiového obvodu. Výhodou selektoru tohoto typu je, že délka válce není prakticky omezena a může být zvolena tak, aby poměr počtu propuštěných neutronů při otevřeném a uzavřeném selektoru byl co největší. Nesmíme tptiž zapomínat na to, že trvání záblesku tvorí nepatrnou část doby celého pracovního cyklu. Jako příklad konstrukce selektoru tohoto typu může být uveden Argonovský selektor (14) (15). Má průměr 10 cm, délku 40 cm, 6 šroubovicových štěrbin v rotoru a odpovídající počet v kolimátoru. Obvodová rychlosť při plných obrátkách je 20.000 cm/sec, štěrbiny jsou 0,3 mm široké a $2\frac{1}{2}$ cm hluboké, což dává záblesky 3μ sec. Štěrbiny se ve směru ke středu rotoru zužují. Průletová base je 10 m, rozlišovací schopnost tedy je $0,3\mu$ sec/m. Malý průřez štěrbin umožňuje zhodnotit z 0,1 gr. vzorek $1,6 \text{ gr}/\text{cm}^2$ (za použití jedné štěrbiny).

Mechanické selektory druhého typu jsou také rotující válce, ale jejich osa rotace je kolmá na směr letu neutronů. Systém štěrbin je složen z hliníkových destiček střídajících se s destičkami z materiálu s velkým účinným průřezem pro neutrony. Pro selektory pomalých neutronů se volí kadmi um s velkým účinným průřezem (převážně absorpcním (- 3.000 b pro 0,01 eV, 20b pro 1 eV), pro rychlé neutrony se volí nikl s velkým účinným průřezem - převážně rozptylovým (18 - 20 b pro obor od 0,01 eV do 3.000 eV). Selektor tohoto typu je postaven u sovětského reaktoru RFT (12).

Je navržen pro obor energii 0,005 - 100 eV. Štěrbiny jsou složeny z destiček hliníkových a niklových. Širokého rozpětí energií bylo dosaženo volbou niklu jako rozptylujícího materiálu; kadmi um při vyšších energiích neutronů je značně transparentní. Popisovaný selektor má dva rotory; pro tepelné a pro epikadmiové neutrony. Rotor pro tepelné neutrony má niklové desky 0,5 mm silné, hliníkové desky 1 mm silné. Niklové desky jsou elektrolyticky pokadmiované v síle 0,1 mm. Rotor pro epikadmiové neutrony má hliníkové desky 0,5 mm silné, niklové desky 1,2 mm silné. Systémy štěrbin mají průřez $35 \times 35 \text{ mm}^2$ a jsou umístěny v ocelových válcích o průměru 100 mm kolmo na jejich osu rotace. Celkem pak je sevřen duralovou obruci. Maximální rychlosť otáček je 16.000 ot/min. Mezi reaktorem a rotem je umístěn kolimátor z niklových desek dlouhý 80 mm. Měřicí base je 6,3 m a je z největší části v evakuované trubici. Detektory (ionizační komora a proporcionální počítadlo)

jsou umístěny v důkladném stinicím krytu. Jako rozlišovací schopnost tohoto spektrometru se udává $0,8 \mu\text{sec}/\text{m}$. Rotor je poháněn vzduchovou turbinou.

Podobný selektor popisují V.V. Vladimirovij, N.A. Radževič a V.V. Sokolovskij (16). Základní koncepce selektoru je stejná jako u selektoru V.J. Mostovoje a druhé liší se jen v některých parametrech: hliníkové štěrbiny jsou široké 0,2 mm, vysoké 24 mm, niklové desky jsou 2 mm silné, průměr rotoru je 150 mm, rychlosť otáček čini 24.000 - 30.000 ot/min). Má však dvě podstatné zvláštnosti. Především jsou štěrbiny v kolimátorech (které jsou před i za rotorem) i v rotoru vytvořeny vějířovitě, takže se sbíhají ve vzdálenosti 18 m. Dosahuje se tak zúžení neutronového svazku v místě detektoru bez zmenšení počtu neutronů. Toto opatření umožňuje použít menšího detektoru, což příznivě zmenšuje poměr počtu k zmenšenému efektu. Rozměry svazku jsou ve vzdálenosti 14 m od rotoru $40 \times 250 \text{ mm}^2$. Druhou zvláštností rotoru jsou dva systémy štěrbin. Za uvedených rozměrů štěrbin jsou rotorem (u přímočarých štěrbin) odrezávány všechny neutrony s menší energií než 25 eV. Proto je v rotoru další systém štěrbin tak zakřivených, aby byly naopak uřezávány rychlé neutrony a propouštěny neutrony pomalé. Selektor tak může - s jedním rotorem - zpracovat daleko širší obor energií. Rozlišovací schopnost systému zakřivených štěrbin je - podle autorů - $0,3 \mu\text{sec}/\text{m}$ v oboru 1,25 eV - 9 eV. Rozlišovací schopnost přímých štěrbin není udána, ale měla by být přibližně stejně velká, protože všechny parametry jsou - patrně - stejné.

Selektor podobného typu je u reaktoru BEPO v Harwellu (17). Je navržen pro thermální neutrony z tepelné kolony. Má 17 štěrbin tvořených hliníkem a kadmiem (0,7 mm Al, 0,152 mm Cd). Rotor má průměr 10 cm a otáčí se rychlostí až 15.000 ot/min. Podobný selektor popisují T.Brill a H.V. Lichtenberger (18).

Representantem dalšího typu mechanických selektorů je Brookhavenský selektor pro rychlé neutrony. Je svým způsobem příbuzný selektoru předchozího typu, místo poměrně úzkého válce se zde užívá rotujícího disku o průměru asi 70 cm. Místo niklu a jeho slitin se zde používá organických plastických látek. Neutrony jsou rozptýlovány vodíkem v těchto látkách hojně obsaženým. Tento selektor má několik konstrukčních zajímavostí. Má 8 páru štěrbin.

Každý pár je vzhledem ke středu selektoru asymetrický, takže – i když jsou štěrbiny opticky průhledné – propouštějí neutrony vždy jen jednou ze otáčku. Štěrbiny jsou na výstupním konci rozšířeny, aby bylo možno měřit širší neutronové spektrum. Osm páru štěrbin způsobí za otáčku 8 neutronových záblesků, čímž se částečně kompenzuje poměrně malá světlonošnost selektoru. Rotor je navržen pro 15.000 ot/min, pracoval však maximálně při 12.000 ot/min. Otáčí se v evakuovaném ($50 \mu\text{Hg}$) ocelovém krytu obklopeném pískovými pytlí a ocelovými deskami pro případ rotržení rotoru. Zajímavým způsobem je vyřešen pohon rotoru a jeho ložiska. Aby případnou excentricitou nedocházelo k nebezpečným resonančním vibracím a ohřezení chodu celého zařízení, nemá rotor pevná ložiska, ale je zavěšen na ocelové tyče přímo spojené s rotorem stejnosměrného seriového motoru. Při roztáčení motoru byly při nízkých otáčkách pozorovány jisté resonance, ale nad 1.000 ot/min se již rotor otáčel kolm svého těžiště, což mu dovolovala chebná hřidel. Je vhodné ještě poznámenat, že při roztáčení byly kolimátory odtaženy od rotoru a teprve při plných obrátkách (kdy již rotor nevibroval) byly přisunuty těsně k rotoru do předem nastavených poloh. Celé zařízení má bohatou bezpečnostní automatiku.

Fyzikální vlastnosti tohoto rotoru jsou dány těmito parametry : rozsah energií 10 eV – 10.000 eV, štěrbiny mají rozměr $0,3 \times 25 \text{ mm}^2$, což dává neutronový záblesk s pološírkou $0,7 \mu\text{sec}$. Při průletové basi 20 m je rozlišovací schopnost tohoto selektoru $0,035 \mu\text{sec}/\text{m}$.

Tento typ selektorů – v porovnání s předchozím typem – má tu výhodu, že vytváří velmi krátké neutronové záblesky. Protože však je velmi málo světlonošný, není možné ho použít na příliš dlouhé průletové base. Naproti tomu předchozí typ i když vytváří záblesky s delším trváním, svou světlonošností umožňuje použít delší průletové vzdálenosti a tím dosahovat výsledné rozlišovací schopnosti stejně jako Brookhavenšký typ. Mimo to použití organických plastických hmot v Brookhavenškém selektoru má za následek silné pronikání γ záření selektorem. Proto je nutno na detekci neutronů volit detektory s velmi malou citlivostí na γ záření.

V souvislosti s mechanickými selektory je nutno uvést Egelstaffovu poznámku v (13) o projektu dvourotorové metody v Harwellu : první rotor vytváří záblesk,

druhý rotor v jisté vzdálenosti od prvého vybere z letících neutronů neutrony úzkého oboru energie, které jsou analysovány normální průletovou methodou.

Urychlovače v pulsním režimu.

Při používání urychlovačů jako zdrojů neutronů je možné vytvářet velmi krátké neutronové záblesky uzpůsobením urychlovače na t.zv. pulsní režim. Vhodnou úpravou přístroje se způsobí, že proud urychlených částic dopadá na terčík po velmi krátkou dobu. Tato metoda používaná velmi často v neutronové spektrometrii, má proti mechanickým selektorům několik výhod. Především urychlovač netvoří neutrony v době mezi dvěma záblesky, čímž se v naměřeném výsledku podstatně omezí pozadí. Dále je možno vytvářet záblesky extrémně krátké a jejich tvar je přesněji definován. A konečně jsou záblesky intenzivnější (u některých urychlovačů až o několik růd) než záblesky vytvářené přerušováním toku reaktorů.

Na pulsní režim lze upravit prakticky v echmy urychlovače. (21). Prvním pulsovaným urychlovačem byl 36^U cyklotron v Berkley. Oscilátor cyklotronu byl napájen nefiltrovaným jednocestně usměrněným napětím. Protože cyklotron začal prakticky pracovat teprve tehdy, když anodové napětí oscilátoru bylo blízko špičkovému napětí, vznikaly poměrně krátké neutronové pulsy.

Dnes se urychlovače, používající iontových zdrojů pulsují tak, že se pulsuje iontový zdroj. V iontovém zdroji buď stále hoří oblouk a výstupu kladných iontů zabraňuje pomocná elektroda s vysokým kladným potenciálem u výstupní kapiláry. Velmi krátkým záporným pulsem, přivedeným na tuto pomocnou elektrodu, se umožní kladným iontům vniknout do urychlovacího zařízení. Jindy se na iontový zdroj krátce době připojí vysoké napětí ; krátkodobý výboj vytvoří krátký záblesk iontů a tím - po urychlení a příslušné reakci - krátký záblesk neutronů. Někdy se oba způsoby kombinují.

Urychlovače elektronů se pulsuji velmi snadno - díky jednak malé setrvačné hmotě elektronů, jednak jejich mimořádně jednoduchému zdroji - žhavené katodě.

Jak známo, nejsou všechny částice v cyklotrenu urychlovány po stejnou dobu.
Je-li splněna podmínka synchronisace

$$H = \frac{mc}{e} 2\pi f \quad , \quad (14)$$

dopadnou na terčík nejdříve ty částice, které vystoupily z iontového zdroje do urychlovacího prostoru v okamžiku maximálního napětí na duantech. Ionty, které vystoupily v jiné fázi urychlovacího napětí, musí vykonat přiměřeně větší počet oběhu a dopadnou na terčík s jistým zpožděním. Tak se původně krátký iontový puls rozšíří, což má za následek zhoršení rozlišovací schopnosti. Pro zkrácení neutronového záblesku se tedy používá metody t.zv. kmitajícího svazku. Svazek urychlených částic, původně mířící na terčík, se pomocnými elektrodami vychýlí, aby dopadal mimo terčík. V okamžiku, kdy svazek dosahuje maximální intenzity, se mění polarita pomocných elektrod, takže svazek na krátký okamžik zasáhne terčík. Podebná metoda se užívá k dosažení co nejkratších záblesků i u jiných urychlovačů. U lineárních urychlovačů se někdy používá magnetického vychylování svazků.

Zajímavým typem pulsovaného zdroje neutronů je pulsový transformátor (viz na př. 11), užívaný v Columbijské universitě. Kídící puls zapne oblouk v iontovém zdroji, uvolní potenciálový uzávěr zdroje a v patřičném zpoždění zapálí thyratron. Thyratron vybije přes primární vinutí kondensátor. Na sekundáru je připojena urychlovací trubice. Špičkové napětí na kondensátoru dosahuje až 350 kV. Délka pulsu je asi 1 μ sec, opakovací frekvence je 50 pulsů / sec, urychlované částice jsou deuterony, terčíkem je ZR Zr - 2. Zařízení dává 10^6 neutronů / sec. Zvyšování výkonu zařízení je omezeno destrukcí terčíku.

Zajímavá metoda na zkrácení doby záblesku u cyklotronu je popsána v práci W.W. Havense 11. Iontový zdroj vytvoří záblesk iontů, který je kratší než urychlovací doba. Po určité době je většina urychlovaných částic v blízkosti maximálního poloměru - i když ještě všechny nedosáhly plného urychlení. Pomocnou vychylovací elektrodou můžeme dosáhnout toho, že všechny tyto částice dopadnou v době příslušné jednomu oběhu ($< 0,1 \mu$ sec) na terčík. Částice - i jimi generované neutrony - sice nejsou monochromatické, což ale není žádoucí závadou ; metoda doby průletu pracuje se spojitým spektrem.

Harwellský spektrometr s lineárním urychlovačem je tak uspořádán, že je na několika průletových dráhách možný současný paralelní chod několika experimentů. Spektrometr má tři časové analysátory.

Názorný přehled o současném stavu neutronové spektrometrie za použití pulsovaných urychlovačů dává srovnávací tabulka z práce (11).

Neutrony vytvářené urychlovači pocházejí z jaderných reakcí. Energiová bilance reakce je dáná rovnicí

$$E + Q = E_b + E_n \quad (15)$$

(E - energie urychléné částice, Q - reakční energie, E_b - energie výsledného jádra, E_n - energie neutronů), impulsová bilance je

$$P_b^2 = p^2 + p_n^2 - 2 p_n p \cos \Theta \quad (16)$$

(Θ úhel mezi směrem výletu neutronů a směrem dopadu urychléné částice, P_b - impuls výsledného jádra, p - impuls dopadající částice.)

Vezmeme-li v úvahu vztah

$$E = \frac{p^2}{2m} \quad (17)$$

dostáváme vyloučením E_b vztah

$$Q = \left(1 + \frac{m_n}{M_F}\right) E_n - \left(1 - \frac{m_n}{M_F}\right) E - \frac{2}{M_F} \sqrt{m_n m_F E E_n} \cos \Theta \quad (18)$$

Je-li terčík tak tenký, že můžeme zanedbat rozptyl neutronů v terčíku, je každému úhlu (při $E = \text{konst.}$) přiřazena jistá energie neutronů E_n . Této monochromatičnosti v jistých směrech lze s výhodou použít při některých měřeních. Za normálního chodu urychlovačů jsou hodnoty E a E_n řádu 10^6 - 10^7 eV. Pro měření při nižších energiích neutronů je nutno tyto rychlé neutrony zpomalit látkou, bohatou na vodík (na př. parafin).

Spektrum tak ztrácí svůj původně monochromatický charakter i jednak proto, že zpomalujeme obyčejně neutrony ze všech směrů výletu z terčíku, jednak statistickým charakterem zpomalování neutronů vodíkatou látkou).

Neutronový impuls však zachovává své velmi krátké trvání. Na př. zpomalení neutronu 7 MeV v parafinu na 1 keV trvá 0,06 μsec, což je vzhledem k původnímu trvání záblesku zanedbatelné. Zpoždění bylo počítáno teoreticky (22) a měřeno experimentálně (23). Oba výsledky se shodují a ukazují na to, že

rozšíření záblesku vlivem zpomalování neutronů je ekvivalentní neurčitosti 2 - 3 cm v průletové dráze pro neutrony 1 - 1.000 eV.

Zpomalování neutronů v parafinu způsobuje svým statistickým charakterem že existuje od nuly různá pravděpodobnost výletu i velmi pomalých neutronů ze zpomalovacího media. Aby nedocházelo k překrývání jednotlivých záblesků, filtrují se zpomalené neutrony kadmiou deskou (11). Kadmium má resonanci ve spektru doby průletu pro $175 \mu\text{sec}/\text{m}$. Doba ($\mu\text{sec}.$) mezi jednotlivými záblesky musí tedy být větší, než asi 150d, kde d je průletová vzdálenost vyjádřená v metrech.

Detektory.

Na detekci neutronů ve spektrometrii se užívá tří druhů detektorů : proporcionalní počítadlo plněné BF_3 , ionizační komory s BF_3 a scintilační detektory. Náplň komor je počítadl bývají pro zvětšení účinnosti obhaceným isotopem B^{10} . Proporcionalní počítadlo mají proti komůrkám kratší pulsy a nepotřebují příliš velké zesilování. Naproti tomu ionizační komory dávají jednočnější pulsy a mohou pracovat za vyššího tlaku náplně bez extrémního zvyšování napětí. Proporcionalní počítadlo o průměru 5 cm (za tlaku málo pod 1 atm.) reagují na neutron s neurčitostí $2\mu\text{sec}$, proto se jich dnes při zvýšené rozlišovací schopnosti přestává používat a na jejich místo nastupují velké sady malých proporcionalních počítadel. (až 100 počítadel s průměrem 1,6 cm), čímž se neurčitost snižuje až na $0,2\mu\text{sec}$. Rovněž ionizační komory - v pečlivém provedení - reagují s neurčitostí $0,2\mu\text{sec}$. Nevhodou detektorů s BF_3 je nepřesnost, kterou vnášeji svými rozměry do měrené vzdálenosti. Aby účinnost detektoru byla v rozumných mezech musí být průletová dráha neutronu v detektoru dosti velká. Detektory tedy musí být dostatečně dlouhé ve směru letu neutronů, čímž se průletová dráha stává neurčitou.

V poslední době jsou BF_3 počítadlo vytlačovány scintilačními počítadly, které mnohem rychleji reagují na dopadající neutrony. (10^{-8} sec).

Scintilační látky jsou buď pevné organické látky, nebo organické roztoky obsahující bor. Scintilátor je buď přímo nebo prostřednictvím světlovodu

přitmelen před katodou na vstupní okénko fotonásobiče. Pro zvětšení účinnosti bývá povrch pokryt vrstvou Al_2O_3 nebo MgO_2 . Nevhodou použití fotonásobiče je jeho poměrně velký poměr šumu k signálu. Aby se snížil vliv šumu na spočítané záblesky ve scintilátoru, používá se někdy dvou fotonásobičů v koincidenci ve spojení s jedním scintilátorem. Nevhodou scintilačních počítaců je nejednotnost v šíři pulsů i od monoenergetických neutronů. Tato šíře, měřena rychlým osciloskopem, je asi 4 - 10 μsec .

Methoda doby zpomalování neutronů v olovu.

V práci (24) je popsána zajímavá metoda neutronové spektrometrie příbuzná s metodou doby průletu. Ve středu velké olověné krychle (2x2x2,3 m, t.j. asi 110 t olova) je urychlovačem 300 keV vytvořen krátký záblesk rychlých neutronů (urychllovány jsou deuterony, terč je Zr - T). Neutrony jsou pružnými srážkami zpomalovány, ale jejich energie jsou stále v poměrně úzkém energiovém oboru, který se dokonce s postupem času zužuje. (Absolutně měřeno; relativní rozptyl vzhledem ke střední energii se ovšem zvětšuje.) V okamžiku T po záblesku mají tedy neutrony energii v poměrně úzkém oboru $E_1 + \Delta E_1$. Tato metoda neutronové spektrometrie sice nevyniká zvláštři rozlišovací schopnosti (asi 30%), má však - podle údajů autorů - zisk v intensitě neutronů proti ostatním metodám asi o 3 - 4 rády. Efektivní průletová dráha při srážkách v olovu je asi 6 m, což je rádově stejně jako u jiných průletových metod.

Časové analyzátoře.

Časový analyzátor je ta část průletového neutronového spektrometru, která dává číselné informace o vlastním průletovém spektru, je to zařízení, které měří dobu letu neutronů. Způsobů, jimiž se získávají informace o době letu neutronů, je několik. Všechny však potřebují pro svou činnost t.zv. startovací脉冲 a detektorový脉冲; doba mezi těmito dvěma pulsy je považována za dobu letu neutronů.

U mechanických selektorů se startovací脉冲 obvykle získává opticky. Sovětský selektor Mostovoje a druhý (12) a anglický selektor u reaktoru BEPO (13) používá světelného signálu odraženého od zrcadla upevněného na

ose rotoru. Fotonásobič, který světelný impuls zachytí dá elektrický impuls, který je startovacím impulsem analysátoru. Podobného způsobu užívají Brill a Lichtenberger (18). Vladimírskij a jeho spolupracovníci (16) používají pro světelný impuls speciální štěrbinu vytvořenou v rotoru. V Brookhaveneském rychlém selektoru se používá světelného impulsu, který prošel štěrbinou současně s neutrony. (Štěrbina je opticky průhledná.)

U urychlovačů se používá/principu dvou metod : buď se řídícím impulsem současně spustí urychlovač i časový analysátor, nebo se startovací pulsy odebírají přímo z terčíku urychlovače.

Brill a Lichtenberger (18) a Egelstaff (17) používají jen 6 šestikanálového analysátoru. Světelný paprsek odražený od zrcadla na ose mechanického selektoru padá nejprve do startovacího fotonásobiče a potom postupně do 6 fotonásobičů, které vytvářejí svými impulsy 6 časových kanálů. Každý fotonásobič dává impulsy do jednoho ze 6 koincidenčních obvodů. Impulzy z detektoru jsou vedeny do všech těchto obvodů. Dojde-li ke koincidenci na p. v pátém obvodu byla doba, kterou neutron potřeboval k průletu celé vzdálenosti rovna době, kterou potřeboval selektor k takovému otočení, aby světelný paprsek postoupil od startovacího fotonásobiče do pátého fotonásobiče.

Moderní analysátory používají daleko většího počtu kanálů. Vyžádala si to rostoucí rozlišovací schopnost spektrometrů. Počet kanálů se dnes pohybuje od 100 - 1.000. Užší kanály se získávají t. zv. vrátkovými obvody. Je to v podstatě koincidenční obvod, který dostává na jednom vstupu poměrně krátké impulsy z detektoru, na druhý vstup dostává široké otevírací impulsy. Šířka otevíracích impulsů definuje šířku časového kanálu. Nejjednodušším analysátorem tohoto typu by byla zpožďovací linka s odbočkami. Startovací impuls by nejprve prošel zpožďovací linkou s nastavitelným zpožděním. Tím eliminujeme mrtvý čas mezi startem a průletem prvních - nejrychlejších - neutronů detektorem, nebo eliminujeme část spektra rychlých neutronů, pokud nás tato část nezajímá. Puls dále postupuje zpožďovací linkou s odbočkami připojenými na vrátkové obvody. Postupující puls nám postupně otevírá jeden vrátkový obvod za druhým a vytváří tak časové kanály. Neutronový impuls

je zaznamenán v tom kanálu, který byl v okamžiku detekce otevřen postupujícím startovacím pulsem. Tato metoda má nevýhodu v tom, že má pevně nastavenou neproměnnou šířku kanálu. Proto se vrátkové pulsy vytvářejí jinak. Startovací puls uvede - po příslušném zpoždění - do chodu oscilátor (nebo otevře vrátkový obvod, který propouští kmity permanentně běžícího oscilátoru). Kmity oscilátoru jsou vedeny do dekady, jakých se používá v dekadických reduktorech. Ke každé registrační anodě je připojeno 10 vrátkových obvodů. Desátá anoda předává pulsy další dekádě, postupně připojené k 10 vrátkovým obvodům tak, že každý vrátkový obvod je připojen k jedné z registračních anod první dekady a k jedné z anod druhé dekady. (Viz obrázek v příloze). První dekada tak definuje jednotky, druhá dekada desítky pořadového čísla kanálu. Jsou-li na př. v okamžiku detekce první dekady určeny všechny sedmé kanály a druhou dekadou kanály 30 - 39, pak je neutron zaznamenán v 37. kanále. Desátý puls v druhé dekadě ukončuje celý cyklus a usavírá opět vrátko, případně blokuje oscilátor. Toto je ovšem jen hrubý náčrt principu analysátoru tohoto typu. Skutečná provedení mají - podle povahy experimentu - na př. možnost rozdělit kanály na dvě části, při čemž jedna registruje spektrum se vzorkem ve svazku neutronů, druhá bez vzorků. Nebo se vhodným zařízením určí jistý počet kanálů na měření pozadí. Padne-li neutron na rozhraní dvou sousedních kanálů, je možné že bude přičten v obou kanálech. Tato možnost je zvláště velká u analysátorů s tak úzkými kanály, že jejich šířka je srovnatelná s šířkou vlastních detektorových pulsu. V takových případech se používá jakési "pesouvače" pulsu. Je to v podstatě klopny obvod, který je pulsy z oscilátoru určujícího šířku kanálu stále držen v jedné poloze. Puls z detektoru obvod překlopí a následující puls oscilátoru vrátí obvod do původní polohy. Toto zpětné překlopení obvodu je vlastně detektorový puls, zpožděný tak, aby byl v koincidenci s nejbližším následujícím pulsem určujícím kanál.

Některé časové analysátory užívají známé metody napěťových kanálů (pulzy jsou tříděny do různých kanálů podle své výšky). Startovací puls zahájí nabíjení kondenzátoru, detektorový puls nabíjení ukončí. Velikost napětí na kondenzátoru určuje kanál, do kterého je puls zařazen a každému kanálu je tak přiřazena určitá doba letu.

Rozvoj techniky elektronických počítacích strojů se projevil i v konstrukci některých časových analysátorů, zejména využitím techniky t. zv. elektronické a magnetické paměti. Analysátor s ultrazvukovou pamětí postavili Howard a Schultz v Yalské universitě. Oscilátor 40 Mc dává kmity, které procházejí modulátorem na piezoelektrický krystal, který je přeměňuje na ultrazvukové kmity. Ultrazvukové kmity postupují křemenným vodičem ultrazvuku k dalšímu piezoelektrickému krystalu, který ultrazvukové kmity mění zpět na elektrické. Řídící脉s ovládající celé zařízení se namoduluje na 40 Mc oscilace a prochází zpožďovací linkou. Za krystalem na výstupu této ultrazvukové zpožďovací linky je usměrňovač, zesilovač, obnovovač tvaru pulsů a přičítací zařízení. Odtud jdou脉sy zpět do modulátoru a tak stále cirkuluji. Ovládací脉sy procházejí speciální propustí, obnovovačem tvaru pulsů a každý desátý spustí urychlovač. Ovládací脉sy, po průchodu zpožďovací linkou (zpoždění o málo menší než 1.000 sec) spouštějí dva oscilátory - 5 Mc a 500 kc. Oscilátor 500 kc vytváří kanálové脉sy, oscilátor 5 Mc vytváří pomocné脉sy pro přičítací a obnovovač脉sů. Na každý časový kanál připadá tedy 10 pomocných脉sů. Tyto pomocné脉sy vyjadřují svým umístěním v kanálu v diadičké interpretaci počet zaznamenaných脉sů. (Podle konvence znamená na př. "pulse zaznamenán" číslo 1, "pulse nezaznamenán" číslo 2. Rozmístění脉sů pak je diadičkým vyjádřením počtu neutronů v kanálu.) Protože se do kanálu vejde 10 pomocných脉sů, je možno v kanálu zaznamenat $2^{10} = 1.024$ neutronů. Změnu konstalace脉sů při přičtení jednoho neutronu obstarává zvláštní obvod - přičítací. Celé zařízení má 41 elektronek, dešifrovací zařízení, které přímo spektrum kreslí perem na papír, má asi 40 elektronek.

Sovětští autoři Mostovoj, Pevzner a Citovič (12) popisují zajímavý analysátor s použitím elektrostatické paměťové elektronky. Je to v podstatě katodová trubice po jejímž stínítku se pohybuje katodový paprsek stejným způsobem jako při televizním rozkladu obrazu. Při registraci neutronů je paprsek potlačen, teprve detektorový脉s ho na kratičký okamžik rozsvítí. Na stínítku dopadnou rychlé elektrony a stínítko se v příslušném místě sekundární emisí kladně nabije a tak si "pamatuje" okamžik dopadu neutronu. Při snímání zaznamenaných dat se po stínítku pohybuje rozsvícený paprsek. Narazí-li na vrchu popsaným způsobem kladně nabité místo stínítka, vznikne

na elektrodě za stínitkem puls, který je potom zařazen vlastním časovým analysátorem. Při tomto "čtení záznamů" jsou současně všechny záznamy vymazány a elektronka je připravena k další registraci. Výhoda tohoto postupu je v tom, že se záznam může dít mnohem větší rychlostí než snímání a tím se umožnuje dosažení extremně úzkých kanálů.

Zajímavé je i zařízení v němž se údaje této "časové lupy" hromadí. Jsou to opět paměťové elektronky, zase se stejným pohybem paprsku jako u televise, jenž zde paprsek postupuje zdola nahoru a posun do strany má po skocích. Pokud se paprsek pohybuje po stopě, kde při předchozím cyklu svítil, svítí i v přítomném cyklu. Jakmile se však přiblíží na konec své minulé stopy, vznikne na snímací elektrodě puls, který paprsek pro zbytek cesty zhasne. Délka stopy je mimo spočítaných neutronů v jí příslušném kanálu. Je-li nutno přičíst do kanálu další neutrony, zpozdí se zhasnutí stopy, která se tak o jednotku příslušné stupnice prodlouží. Analysátor má dvě takové elektronky, jednu pro jednotky, druhou pro desítky neutronů.

Zajímavý je také časový nonius, který je u spektrometru, pracujícího s Harwellským lineárním urychlovačem. Signály z detektoru (ze zvoleného časového intervalu $20\mu\text{sec}$) cirkuluji zpožďovacím vedením, které má zpoždění $20\mu\text{sec}$. Předchází je startovací puls, zpožděný až na začátek $20\mu\text{sec}$.intervalu, který chceme analysovat. Na výstupu cirkulačního zpožďovacího vedení je obvod, který oddělí startovací puls od ostatních pulsů a pro další obě zpožďovacím vedením ho zpozdí o jednu setinu cirkulační doby, t.j. o $0,2\mu\text{sec}$. Tento proces se stále opakuje, až dojde ke koincidenci mezi zaznamenaným neutronovým pulsem a postupně posouváným pulsem startovacím. V okamžiku této koincidence se předá puls normálnímu 100kanálovému analysátoru, jehož kanály jsou $20\mu\text{sec}$. široké. Proces pokračuje dále, až startovací puls projde postupným zpožďováním celý $20\mu\text{sec}$. interval. Pak se celé zařízení vrátí do původního stavu a je připraveno k analýze dalšího cyklu spektrometru.

Kombinace elektrostatických paměťových elektronek a magnetických paměťových bubnů bude užita v anglysátoru, který je v současné době konstruován v Columbijské a Yalské universitě a v General Electric Co. Má mít 2.048 kanálů pro 2^{13} záznamů. Nejmenší šíře kanálu bude 0,1 sec.

Spektrometry ÚJF.

Při návrhu spektrometrů ÚJF je nutno vycházet z přístrojového parku, který bude mít ústav k disposici. Podle nynějších perspektiv to bude urychlovač Cockcroft-Waltonův (1 MeV), generátor Van de Graaffův (5 MeV), cyklotron (25 MeV) a reaktor (2 MW).

Nejaktuльнější částí programu neutronové spektrometrie ÚJF jsou mechanické selektory, které budou pracovat v reaktoru v oboru energií $0,01 - 10^4$ eV. Než přistoupíme k popisu vlastního návrhu rotoru pro selektor, udělejme nejprve několik zcela obecných úvah.

Dráha neutronů v selektoru.

Vycházíme ze dvou soustav souřadnic : z laboratorní soustavy, v níž se neutron pohybuje rovnoramenným přímočarým pohybem, a ze soustavy rotoru, v níž má neutron ^{DRÁHU} čáru křivočarou. Hledáme takový tvar štěrbiny, (zatím nekonečně tenké), aby selektorem prošly jen ty neutrony, které ~~na metu dopadky v okamžiku $t = 0$~~ a které mají rychlosť v . Rotor se otáčí úhlovou rychlosťí ω .

Beg újmy na obecnosti můžeme stanovit, že se neutron pohybuje rovnoběžně s osou z laboratorní soustavy. V okamžiku $t = 0$ volíme za souřadnice neutronů $x = 0$ a $y = y_0$. Pohyb neutronu v laboratorní soustavě je dán parametrickými rovnicemi

$$x = vt \quad (19)$$

$$y = y_0 \quad (20).$$

V soustavě rotoru je pohyb neutronu vyjádřen vztahy

$$x' = vt \cos \omega t + y_0 \sin \omega t \quad (21)$$

$$y' = y_0 \cos \omega t - vt \sin \omega t \quad (22).$$

Neutrony se v selektoru pohybují po spirálách (pro $y_0 = 0$ je to spirála Archimedova). Budou-li tedy nekonečně tenké štěrbiny vytvořeny podle této rovnice, projdou selektorem jen neutrony s rychlosťí v , ~~dopadající v okamžiku $t = 0$ na rotor~~. Protože rychlosť i pomalých

neutronů je velmi veliká, je doba, kterou neutrony potřebují k proletění rotoru malá ; malý zůstává i součin $\frac{1}{t}$ a proto můžeme pro další výpočty položit

$$\sin \omega t = \omega t \quad (23)$$

$$\cos \omega t = 1 \quad (24).$$

Rovnice pohybu neutronu v selektoru přecházejí na jednoduchý tvar

$$y' = Ax'^2 + C \quad (25)$$

kde $A = \frac{-v\omega}{(v+y_0)\omega}^2 \quad (26).$

$$C = y_0 \quad (27)$$

Této rovnice lze použít pro výpočet tvaru štěrbin selektoru.

Kolimace.

Průletová metoda principielně nevyžaduje kolimovaný svazek neutronů a bylo by ideální, kdyby bylo technicky možné dělat měření v prostorovém úhlu 4π . Každé omezení tohoto úhlu zmenšuje světlonošt přístroje. Na druhé straně dosažení co největších rozlišovacích schopností si vyžaduje u mechanických selektorů vytvoření co nejužších štěrbin, t.j. co největšího zredukování prostorového úhlu. Tato redukce je tím větší, čím delších štěrbin se v selektoru používá. Vedle kolimace způsobené štěrbinami se u selektorů ještě uplatňuje jakási přirozená kolimace geometrická, určená rozměry detektora. Výsledný počet neutronů dopadajících do detektora je pak určenou kolimací, která vymezuje menší prostorový úhel. Je-li detektor tak velký, že v jisté vzdálenosti zachytí všechny neutrony vyletující ze selektoru, nemění se světlonošt se vzdáleností mezi detektorem a selektorem. V takovém případě je výhodné použít větší vzdálenosti, čímž se při stejné světlonošt dosáhne větší rozlišovací schopnosti.

V jisté vzdálenosti od selektoru se svazek neutronů divergenci (určenou kolimaci štěrbinami) natolik rozšíří, že v jednom směru

je stejně velký jako detektor (pokud nejsou rozměry detektoru upraveny tak, aby se v této první kritické vzdálenosti oba jeho rozměry rovnaly rozměru neutronového svazku). Při zvětšování vzdálenosti nad tuto mez sice roste rozlišovací schopnost selektoru, ale současně klesá jeho světelnost ($1/r$). Dalším zvětšováním dosáhneme bodu, když druhý rozměr svazku rovná rozměru detektoru. Nad touto vzdáleností již klesá světelnost se čtvrcem vzdálenosti. Tento pokles světelnosti je hlavním omezovacím činitelem při zvyšování rozlišovací schopnosti spektrometru.

Volba typu selektoru.

Při volbě typu selektoru byl předem zavržen typ francouzský (20) pro svou těžkopádnost a poměrně úzký obor použití. Argonovský typ (14) a (15), (rotující válec se šroubovicovou štěrbinou na povrchu) byl zavržen proto, že při stejné rozlišovací schopnosti jako válcový selektor s příčnými štěrbinami (na př. sovětský typ (16)) má malou světelnost. Přicházely v úvahu tedy dva typy : selektor s válcovým rotorem a příčnými štěrbinami a selektor s rotujícím diskem. (Brookhavenovský typ (19)). První z nich se vyznačuje velkou světelností (velký počet štěrbin), druhý velmi krátkým zábleskem (velká obvodová rychlosť). Brookhavenovský selektor se nehodí pro pomalé neutrony (štěrbiny by byly příliš zakřivené). Protože ústav bude potřebovat selektor i pro pomalé neutrony, bude nutno v každém případě konstruovat selektor s příčnými štěrbinami pro práci v oboru do $10^3 - 10^4$ eV. Tento obor byl rozdělen na tři vzájemně se překrývající části : 0,01 eV - 3 eV, 1 eV - 300 eV, 100 eV - 10.000 eV.

Požadavek maximální rozlišovací schopnosti je v kontradikci s požadavkem co nejšířšího oboru měřených energií. Maximální rozlišovací schopnost vyžaduje co nejkratší trvání záblesku. Odtud plyne požadavek co největší obvodové rychlosti rotoru a co nejužší štěrbiny. Ale štěrbina je pevně určena zakřivením dráh nejrychlejšího a nejpomalejšího neutronu, který má rotorem projít. Výška oblouku H nad tětivou dráhy

neutronů plyně z approximované rovnice

$$y' = - \frac{v\omega}{(v + y_0\omega)^2} x'^2 + y_0 \quad (28)$$

protože se dráhy od sebe tvarem velmi málo liší ($v \gg y_0\omega$), je lhostejné, jakou "nástřelnou vzdálenost" y_0 použijeme. Je výhodné počítat převýšení pro dráhu, jejíž tětivou je průměr selektoru. Převýšení pro takovou dráhu je y_0 . Rovnice této dráhy je vázána podmínkou $y' = 0$ pro $x' = \pm r$, kde r je poloměr rotoru. Odtud přímo plyně pro převýšení

$$h = y_0 = \frac{vr^2\omega}{(v + y_0\omega)^2}. \quad (29)$$

Vezmeme-li v úvahu okolnost, že $v \gg y_0\omega$, dostáváme konečně pro h vztah

$$h = \frac{r^2\omega}{v}, \quad (30)$$

který je ve shodě s údaji v literatuře.

Poločírka záblesku je dána poměrem šířky štěrbiny a obvodové rychlosti rotoru :

$$\Delta t = \frac{s}{r\omega} \quad (31)$$

Zvolíme-li skutečnou šířku štěrbiny tak, aby její efektivní šířka byla rovna nule pro neutrony minimální a maximální rychlosti ve zvoleném oboru energií (za předpokladu pro neutrony absolutně nepropustného materiálu), musí být šíře štěrbiny definována vztahy

$$s = \frac{1}{2}(h_{\max} - h_{\min}) = \frac{r^2\omega}{2} \left(\frac{1}{v_{\min}} - \frac{1}{v_{\max}} \right) \quad (32)$$

Dosadíme-li tento výraz do výrazu pro poločírku záblesku Δt , dostáváme - po úpravě -

$$\Delta t = \frac{r}{2} \left(\frac{1}{v_{\min}} - \frac{1}{v_{\max}} \right). \quad (33)$$

Z tohoto vzorce plyně, že pro dosažení co nejmenšího Δt je nutno volit (při neproměnnosti úhlové rychlosti ω) hraniční rychlosti neutronů co nejmenší r . Toto tvrzení není v rozporu se vzorcem (31).

V tomto vzorci se současně mění r , ale s druhou mocninou r .

Požadavek co nejmenšího r je však v kontradikci s požadavkem co nejmenší transparency rotoru v okamžiku, kdy má být selektor uzavřen a s požadavkem maximální světelnosti selektoru. Jak vysvítne z pozdějších úvah, má na světelnost selektoru zásadní vliv úhel úhlopříšek ve štěrbině v rovině kolmé k ose rotoru. Tento úhel je

$$\varphi = \arctan \frac{b}{r} = n\omega \left| \frac{1}{r_{\min}} - \frac{1}{r_{\max}} \right|. \quad (34)$$

Světelnost je tedy tím větší čím větší je poloměr rotoru a čím větší je ω .

Při volbě poloměru v rotoru je nutno brát v úvahu ještě světelností přístroje a transparenti materiálu. Selektor není ve všech polohách rotoru pro neutrony stejně transparentní. Transparency rotoru v závislosti na úhlu otočení je - exaktně vzato - dostač složitou funkcí. Pro správnou práci rotoru stačí zajistit, aby maximální transparency rotoru v době mimo záblesk byla menší než maximální připustná hodnota. Pro rychlé neutrony je největší transparency (mimo záblesk) při průchodu neutronů dráhou naznačenou na obrázku. Tento neutron má ze všech rychlých neutronů nejkratší dráhu materiálem s velkým účinným průřezem a proto největší pravděpodobnost průchodu. Je-li poměr vzdálenosti štěrbin (t.j. síly materiálu mezi štěrbinami) k šířce štěrbin k , je dráha rychlého neutronu materiálem s velkým účinným průřezem dána vztahem

$$d = \frac{2 kr}{2 + k} \quad (35).$$

Aby byla stejná dráha d , je možné volit při větším r menší k , čímž je možné dosáhnout větší světelnosti přístroje (většího počtu štěrbin).

Rámcové údaje

Je-li výška štěrbin h a šířka celého systému štěrbin S , pak je plošná apertura selektoru P dána vztahem

$$P = h \frac{S}{1+k} \quad (36).$$

Z tohoto vzorce je zřejmé, že dosažením menšího k dosahujeme zvětšení plošné apertury.

V souvislosti s kritickou transparentí rotoru pro rychlé neutrony je nutno uvažovat také o transparenti pro neutrony pomalé. Existuje jistá kritická rychlosť neutronů, kdy je dráha stěnou mezi štěrbinami velmi malá (viz nákres). Dráha neutronů je

$$y = A x^2 + y_0 \quad (37).$$

tečná stěna pak má rovnici

$$y = K x + q, \quad (38)$$

kde

$$K = \frac{-s(1+k)}{2r}, \quad q = s/2 \notin 5+3k. \quad (39)$$

Rešením těchto rovnic dostaváme

$$A x^2 + \frac{s(1+k)}{2r} x + y_0 - \frac{s}{2} (5+3k) = 0 \quad (40).$$

Aby byla dráha ke stěně tečná, musí se discriminant této rovnice rovnat nule:

$$\left[\frac{s(1+k)}{2r} \right]^2 - 4A \left[y_0 - \frac{s}{2} (5+3k) \right] = 0 \quad (41).$$

Protože

$$A = \frac{\omega}{v}, \quad y_0 = \frac{\omega r^2}{v}, \quad (42)$$

dostaváme konečně

$$4 r^2 \left(\frac{\omega}{v} \right)^2 - \frac{\omega s}{v} (10+6k) + \left[\frac{s(1+k)}{2r} \right]^2 = 0 \quad (43)$$

a odtud je kritická rychlosť

$$v = \frac{8 r^2 \omega}{s \left[(10+6k) + \sqrt{(10+6k)^2 - 4(1+k)^2} \right]} \quad (44).$$

Pro výpočet délky dráhy neutronů, která připadá na stěnu mezi štěrbinami, nahradíme parabolu lomenou čarou. Délka dráhy d pak je

$$d = \frac{Nl}{\sin \chi} \quad (45)$$

Uhel χ je

$$\chi = \gamma + \varphi \quad (46)$$

při čemž

$$\gamma = \frac{\Delta(1+\beta)}{2n} \quad (47)$$

a

$$\varphi = \frac{\gamma_0}{n} = \frac{\omega n}{N} \quad (48)$$

Shrnutím

$$\chi = \frac{\Delta(1+\beta)N + 2n\omega}{2nN} \quad (49)$$

a konečně

$$d = \frac{2\Delta n N}{\Delta(1+\beta)N + 2n\omega} \quad (50)$$

Další důležitou charakteristikou selektoru je jeho účinnost. Tento pojmen rozumíme koeficient, který převádí tok resonančních neutronů ve středu reaktoru (v aktivní zoně) na počet neutronů dopadajících do detektoru za jednotku doby. Podílejí se na něm dva faktory : geometrický a časový.

Při stanovení geometrických podmínek vycházíme z maximálních rozměrů detektoru. Použijeme-li dvou kruhových scintilátorů o průměru D nad sebou, je-li šířka systému štěrbin S , šířka štěrbin s a délka štěrbin (od vstupu kolimátoru do výstupu z celého selektoru) j , je druhá kritická vzdálenost (nad níž světelnost klesá s druhou mocninou vzdálenosti) dána vztahem

$$l = \frac{(D-S)j}{2s} \quad (51)$$

Redukci neutronového toku dopadajícího do detektoru z reaktoru počítáme jako součin dvou geometrických faktorů : první plyně z průmětu do roviny kolmé v ose rotoru, druhý z průmětu do roviny rovnoběžné se štěrbinami :

$$R_1 = \frac{2\pi l \cdot \Delta}{4\pi l^2} = \frac{\Delta}{2l} \quad (52)$$

Protože ale

$$\Delta = l \cdot \frac{\lambda}{J} \quad (53)$$

dostáváme

$$R_1 = \frac{\lambda}{2J} \quad (54)$$

(Oprávněnost approximace

bude zřejmá později, po volbě veličin s, l a j.) Tento faktor zřejmě nezávisí na vzdálenosti selektoru od zářící plochy reaktoru (pokud je tato plocha dostatečně veliká a homogenně zářící).

$$R_2 = \frac{2\pi(l+L)}{4\pi(l+L)^2} \cdot \frac{l \cdot 2D}{l+L} = \frac{lD}{L+l} \quad (55)$$

a výsledný geometrický redukční faktor je

$$R_g = R_1 R_2 = \frac{\lambda^2 l D}{2J(l+L)} \quad (56)$$

Protože je téměř vždy $L > 1$, je výsledný geometrický redukční faktor málo citlivý na změny v l a klesá s první mocninou L (ovšem jen do druhé kritické vzdálenosti).

Časový redukční faktor je určen poměrem trvání záblesku k době mezi dvěma záblesky. Aproximujeme-li tvar záblesku trojúhelníkem, můžeme považovat za trvání záblesku pološířku trojúhelníka a pak jsme oprávněni brát za tok neutronů maximální tok. Pološířka záblesku je poměr šířky štěrbiny a obvodové rychlosti rotoru.

$$\Delta t = \frac{\lambda}{\pi \omega} \quad (57)$$

Doba mezi dvěma záblesky je

$$\lambda = \frac{\pi}{\omega} \quad (58)$$

(uvažujeme zatím přímočaré štěrbiny - t.j. dva záblesky za otáčku) a odtud výsledný časový redukční faktor je

$$R_t = \frac{\Delta}{\pi \omega} \quad (59)$$

Výsledný faktor, jako součin faktoru geometrického a časového, je

$$\varphi = R_g R_d = \frac{\delta \lambda D}{2 j(L+l) \pi \tau} \quad (60)$$

a počet neutronů dopadajících za jednotku doby z jedné štěrbiny do detektoru je

$$N_1 = I_0 \varphi \quad (61)$$

(I_0 je tok neutronů, připadající na jednotku plochy zadní stěny experimentálního kanálu ve středu reaktoru.) Počet štěbin vypočítáme na př. jako poměr plošné apertury rotoru (36) k ploše jedné štěrbiny :

$$n = \frac{P}{A h} = \frac{S}{\delta(1+\lambda)} \quad (62)$$

Počet neutronů, dopadajících do detektoru za jednotku doby z celého selektoru tedy je (zatím bez počítání transparency materiálu tvorícího štěrbiny)

$$N = n N_1 = \frac{I_0 S^2 \lambda D}{2(1+\lambda)(L+l) j \pi \tau} \quad (63).$$

Na základě všech těchto vztahů by bylo možno stanovit všechny potřebné rozměry selektoru. Protože se však jedná o první konstrukci podobného přístroje v republice a protože nikdo u nás dosud nemá s přístroji tohoto typu zkušenosti, považovali jsme za nutné volit jednodušší, ale bezpečnější cestu v návrhu. Jako vzor nám sloužil sovětský selektor Vladimírského a druhý (16), podle kterého jsme posuzovali použitelnost našich parametrů selektoru.

Abychom dosáhli větší světelnosti zvýšením počtu štěbin, bylo nutno snížit k , což mělo za následek zvětšení r . Zvětšení r ale vyžaduje zvětšení s . Protože - jak je vidět z příslušných vztahů - nejsou tyto veličiny jen ve vztazích prosté úměrnosti, podařilo se vhodnou volbou zvýšit jak světelnost, tak rozlišovací schopnost selektoru, při zachování ostatních výhodných parametrů selektoru. V následujícím přehledu jsou uvedeny důležité charakteristické veličiny selektoru Vladimírského a druhého a selektoru podle návrhu ÚJF. (Detektor $12 \times 24 \text{ cm}^2$, t.j. $D = 12 \text{ cm}$, štěrbiny jsou vyplněny hliníkem perforovaným v poměru 1:2, mezi štěbinami je 30% niklik, 23% chrom + přímady, vzdálenost selektoru od zářící plochy reaktoru je $l = 2.3 \text{ m}$, délka kolimátoru před i za rotorem je 8 cm).

Veličina	Vladimirski	ÚJF
poloměr rotoru	$r=7,5$ cm	$r=10$ cm
poměr síly destiček z chromiklo- vé oceli k hliníku	$k=10$	$k=3$
šířka šterbin	$s=2 \times 10^{-2}$ cm	$s=2,2 \times 10^{-2}$ cm
úhlová rychlosť rotoru	$=3,14 \times 10^3$ sec ⁻¹	$=3,14 \times 10^3$ sec ⁻¹
výška šterbin	$h=2,4$ cm	$h=7$ cm ($\frac{1}{3}$ prům. roto- ru).
dráha příčných rychlých neutronů niklem	$d=12,5$ cm	$d=12$ cm
plošná apertura	$P=1,44$ cm ²	$P=12,3$ cm ²
kritická rychlosť pomalých neutronů	$V=5,15 \times 10^5$ cm/sec	$V=2,07 \times 10^6$ cm/sec
dráha kritických pomalých neutronů niklem	$d=2,65$ cm	$d=3,38$ cm
druhá kritická vzdálenost detekto- ru od selektoru	$L=43,2$ m	$L=41$ m
transparence šterbin při perforaci hliníku v poměru 1:2 (pro změn- žení dráhy hliníkem)	$\frac{I}{I_0} = 0,652$	$\frac{I}{I_0} = 0,567$
počet neutronů dopadajících do detektora v druhé kritické vzdálenosti se započtením transpa- rence šterbin rotoru	$N = I_0 \times 0,652 \times 10^{-9}$ n/sec	$N = I_0 \times 4,25 \times 10^{-9}$ n/sec
pološířka záblesku	$t=0,85$ μ sec	$t=0,7$ μ sec
rozlišovací schopnost při měření doby průletu za použití druhé kri- tické vzdálenosti	$\frac{t}{L} = 0,0196$ μ sec/m	$\frac{t}{L} = 0,017$ μ sec/m
nejnižší rychlosť propuštěných neutronů	$v_{min} = 8,6 \times 10^5$ cm/sec	$v_{min} = 1,415 \times 10^7$ cm/sec
což odpovídá energii	$E_{min} = 39$ eV	$E_{min} = 102$ eV

Z tohoto přehledu parametrů je zřejmé, že zvětšení rozlišovací schopnosti a světelnosti přístroje bylo nutno obětovat šíři měřitelného spektra.

Od sbíhavosti štěrbin, která je nespravedlnou výhodou, bylo prozatím upuštěno. Úkos připadající na jednu z desítek tvořících štěrbiny je velmi malý a je řádově roven minimálním dosažitelným tolerancím v mile plášti. "ení zaručeno, že by se zhotovováním takových štěrbin natolik nezhoršily tolerance, že by výhoda sbíhavých štěrbin nevyvážila zhoršení ostatních vlastností. Při tom není vyloučena možnost, aby se později, po získání zkušeností s rovnoběžnými štěrbinami, vyměnily štěrbiny za sbíhavé.

Abychom u selektoru pro střední energie (1 eV=300 eV) dosáhli velké světelnosti, rozdělili jsme obor na logaritmické třetiny. Rotor má dva systémy štěrbin ; jeden pro první dvě logaritmické třetiny, druhý pro druhé dvě třetiny. V tomto rozdělení vychází rozlišovací schopnost podle energie téměř konstantní.

Dělící body jsou :

$$\begin{aligned} E_1 &= 300^{1/3} \text{ eV} = 6,694 \text{ eV} \\ E_2 &= 300^{2/3} \text{ eV} = 44,814 \text{ eV} \end{aligned} \quad (64)$$

Obory tedy jsou :

I. obor 1 eV - 45 eV - s logaritmickým středem 6,7 eV

II. obor 6,7 eV - 300 eV - " " 45 eV.

Pro druhý obor volíme $\Delta t = 10^{-6} \text{ sec}$ (což odpovídá rozlišovací schopnosti Vladimírského selektoru), od tudíž plynne pro polomer rotoru

$$R = 2 \cdot 10^{-6} \left(\frac{1}{N_{6,714}} - \frac{1}{N_{300,14}} \right) = 8,4 \text{ cm} \quad (65)$$

Poměr záblesků je

$$\frac{\Delta_1 t}{\Delta_2 t} = \frac{\left(\frac{1}{N_{6,714}} - \frac{1}{N_{45,14}} \right)}{\left(\frac{1}{N_{6,714}} - \frac{1}{N_{300,14}} \right)} = 2,581 \quad (66)$$

Ctudíž přímo plynne

$$\Delta_1 t = 2,581 \mu \text{sec} \quad (67)$$

Rozlišovací schopnost v energiích pro logaritmické středy obou oborů je

$$\frac{\Delta E}{E} = 18,96\% \quad (68)$$

Sířka štěrbin vychází

$$S_1 = 6,84 \cdot 10^{-2} \text{ cm}$$

$$S_2 = 2,635 \cdot 10^{-2} \text{ cm} \quad (69)$$

při $\omega = 3,14 \cdot 10^3$. Úhlová rychlosť byla volena proto velká, protože při velkém ω vychází velké s . A účinnost selektoru je úměrná s^2 .

Zadánívání štěrbin je dle neutrony, pro které má selektor maximální aperturu. Převýšení jejich druh plyne ze vztahu

$$\frac{n^2 \omega}{n_s} = h = \frac{1}{2} (\lambda_1 - \lambda_2) = \frac{n^2 \omega}{2} \left(\frac{1}{n_1} - \frac{1}{n_2} \right) \quad (70)$$

a odtud

$$n_s = \frac{2 n_1 n_2}{n_1 + n_2} \quad (71)$$

Po dosazení příslušných hodnot a po převedení na energie dostíváme

$$E_{10} = 3,05 \text{ eV}$$

$$E_{20} = 20,5 \text{ eV} \quad (72)$$

Jsou to energie, při nichž je maximální efektivní sířka štěrbiny.

Výsledek je zajímavý tím, že efektivní sířka štěrbiny prudce klesá směrem k menším energiím a pozvolna se zmenšuje směrem k vyšším energiím.

Při návrhu selektoru pro tepelné neutrony a epikadmiové do 3 eV jsme postupovali poněkud jinak. Abychom dosáhli co největší rozlišovací schopnosti, volili jsme co nejménší r . Za mož lze považovat $r = 5 \text{ cm}$ (nejmenší poměr podle údajů v literatuře). Z těchto důvodů byl zvolen užší obor energií (MI,0,1 - 3 eV) při maximálních otáčkách rotoru ($n=30.000 \text{ ot/min}$). Za těchto - s bláznka rozlišovací schopnosti - optimálních podmínek vychází pro záblesk hodnota

$$\Delta t = \frac{r}{2} \left(\frac{1}{n_{0,1 \text{ eV}}} - \frac{1}{n_{3 \text{ eV}}} \right) = 4,69 \cdot 10^{-6} \text{ sec} \quad (73)$$

Štěrbina pak je určena vztahem

$$r = \Delta t / n \omega = 7,35 \cdot 10^{-2} \text{ cm} \quad (74)$$

Rozlišovací schopnost pro logaritmický střed oboru ($= \sqrt{3} \cdot 0,1 \text{ eV} = 0,549 \text{ eV}$)

je

$$\left(\frac{\Delta E}{E} \right)_{0,549 \text{ eV}} = 9,7\%/\text{m} \quad (75)$$

Neutrony, určující zakřivení štěrbin (maximální apertura) jsou určeny

$$v_0 = \frac{2N_{0,1 \text{ eV}} \cdot N_{3 \text{ eV}}}{N_{0,1 \text{ eV}} + N_{3 \text{ eV}}} = 4,39 \cdot 10^5 \text{ cm/sec} \quad (76)$$

nebo podle energie

$$E_0 = \frac{4 \cdot 0,1 \cdot 3}{0,1 + 3 + 2\sqrt{3 \cdot 0,1}} \text{ eV} = 0,289 \text{ eV} \quad (77)$$

Rozlišovací schopnost pro neutrony, pro které má selektor maximální aperturu,

je

$$\left(\frac{\Delta E}{E} \right)_{0,289 \text{ eV}} = 6,9\%/\text{m} \quad (78)$$

Pokud bude nutno měřit energie neutronů menší než 0,1 eV, rozšíří se obor selektoru snížením rychlosti otáčení. Rozlišovací schopnost selektoru při energii, příslušející maximální apertuře při tom zůstává konstantní, jak se dá snadno dokázat :

$$\frac{\Delta E}{E_0} = 0,028 \cdot \Delta \lambda \cdot 10^6 \sqrt{E_0} = 2,8 \cdot 10^4 \frac{\Delta \lambda}{\text{rad}} \sqrt{E_0} \quad (79)$$

Protože

$$N_0 = \frac{\dot{\omega}}{\lambda_0} \quad (80)$$

dostávame

$$\frac{\Delta E}{E} = 2,8 \cdot 10^4 \frac{\Delta \lambda}{\text{rad}} \cdot \frac{\dot{\omega}}{\lambda_0} \sqrt{\frac{E}{E_0}} = 2,8 \cdot 10^4 \sqrt{\frac{\Delta \lambda}{\text{rad}}} \frac{\dot{\omega}}{\lambda_0}, \quad (81)$$

což zřejmě nezávisí na úhlové rychlosti rotora.

Zbývá ještě ukázat, za jakých předpokladů lze tvrdit, že se zúžením rotemem propouštěného spektra za účelem zvýšení rozlišovací schopnosti nechusujeme o šíři skutečně v jednom experimentu měřitelného spektra. Selektor pracuje s/analyzátem doby letu neutronů s n kanály. Nejvýhodnější je, rovná-li se doba připadající na jeden kanál době trvání záblesku (26) (t.j. asi 2 polosifáků).

Tedy

$$\Delta_a \lambda = 2 \Delta_p \lambda \quad (82)$$

Při tom platí

$$\Delta_3 \lambda = \frac{n}{2} \left(\frac{1}{t_{\min}} - \frac{1}{t_{\max}} \right) \quad (83)$$

Položme

$$\frac{1}{t_{\max}} = \frac{t_{\min}}{\lambda} \quad (84)$$

(kde t_{\min} je doba letu nejrychlejších neutronů na vzdálenost λ) a

$$\frac{1}{t_{\min}} = \frac{t_{\max}}{\lambda} \quad (85)$$

(t_{\max} doba letu nejmalojších neutronů). Protože

$$t_{\max} = t_{\min} + n \Delta_3 \lambda \quad (86)$$

dostávame

$$\frac{1}{2} \Delta_3 \lambda = \Delta_3 \lambda = \frac{n}{2} \left(\frac{t_{\min} + n \Delta_3 \lambda}{\lambda} - \frac{t_{\min}}{\lambda} \right) = \frac{n n \Delta_3 \lambda}{2 \lambda} \quad (87)$$

a od tud

$$\lambda = n r \quad (88)$$

Měříme-li tedy s detektorem ve vzdálenosti λ dané vztahem (88) za současné platnosti podmínky (82), spracuje analyzátor celé spektrum propuštěné selektorem. Při větších vzdálenostech je dokonce propouštěné spektrum širší, než může analyzátor spracovat. Pro analyzátor s 256 kanály a roter s poloměrem 5 cm je tato vzdálenost 12,8 m. Tak velká vzdálenost však odpovídá podmínce (7), ze které plyne, že maximální vzdálenost detektoru od selektoru musí vyhovovat vztahu

$$\lambda < \frac{1}{f \left(\frac{1}{r_1} - \frac{1}{r_2} \right)} \quad (89)$$

Po dosažení našich parametrů musí být

$$\lambda < 10,66 \text{ m} \quad (90)$$

Pro tyto kratší vzdálenosti využijeme menší počet kanálů než 256. V termální oblasti se však používá malého počtu kanálů (na př. Egelstaff ¹³ používá 6 kanálů při vzdálenosti 2 - 3 m). Bylo uvažováno také o analyzátoru doby letu pro tepelné neutrony, složeném z fotonásobičů na základě Egelstaffova principu

(17) Automaticky tím je možno dodržet podmínu (82). Při větším počtu kanálů je však tato úprava nevhodná; změny v otáčkách rotoru se projevují ve značném posouvání kanálů (i když se jejich šířka mění poměrně málo), což vnáší značnou chybu do měřeného spektra.

Při všech výpočtech je brána za šířku štěrbín tloušťka hliníkových destiček. Ve skutečnosti se efektivní šířka štěrbiny mění s energií neutronů. Proto se i rozlišovací schopnost doby letu mění s energií neutronů, je však vždy lepší než rozlišovací schopnost počítaná s tloušťkou hliníkových destiček. Pro získání přesnějšího obrazu by bylo nutno dosadit do příslušných vzorek efektivní šířku štěrbiny, která plyně ze vztahu

$$s_{\text{eff}} = h - h_{\max} \quad \text{pro } h_0 \geq h \geq h_{\max}$$

$$s_{\text{eff}} = h_{\min} - h \quad \text{pro } h_{\min} \geq h \geq h_0 \quad (91)$$

(h_{\max} a h_{\min} je převýšení dráhy neutronů s maximální a minimální energií, h_0 převýšení dané zakřivením štěrbin.) Odtud přímo plyně vztah mezi rychlostí neutronů a jím příslušnou efektivní šířkou štěrbiny :

$$s_{\text{eff}} = n^2 w \left(\frac{1}{v} - \frac{1}{v_{\max}} \right) \quad \text{pro } v_0 \leq v \leq v_{\max} \quad (92)$$

$$s_{\text{eff}} = n^2 w \left(\frac{1}{v_{\min}} - \frac{1}{v} \right) \quad \text{pro } v_{\min} \leq v \leq v_0$$

kde v_0 je dáno vztahem (71). Toto vyjádření je obecnější (platí i pro zakřivené štěrbiny), než udává Mostovoj. (12) Z této závislosti efektivní šíře štěrbín na rychlosti neutronů lze také usuzovat na změny neutronového spektra způsobené selektorem.

Nejvhodnější parametry selektoru, jak plynuly z těchto úvah, byly předány konstrukci ÚJF.

Literatura:

- ① Hughes Nejtronnaja optika, I.I.B. Moskva 1955, str. 43
- ② Mc.Peynolds : Phys.Rev. 88, 958 (1952)
- ③ Hughes : Pile Neutron Research Cambridge Mass. 1953.
- ④ E. Meltonian : Phys. Rev. 76 1744 (1949)
- ⑤ L. King, L. Goldstein, Phys.Rev. 75 1366 (1949)
- ⑥ Hibdon, Muellhouse, Phys. Rev. 76 100 (1947)
- ⑦ R.R. Gossic : RSI 26 754 (1955)
- ⑧ W.A. Zinn : Phys.Rev. 71 752 (1947)
- ⑨ Burst Presseeski Tunncliffe : RSI 21 705 (1950)
- ⑩ Burst Sailor : RSI 24 141 (1952)
- ⑪ Havens : Ženovský referát P 574
- ⑫ Mostovoj : Pevzner Citovič - Ženovský referát P 640
- ⑬ Egelstaff : Ženovský referát P 767
- ⑭ W. Selove : RSI 23 350 (1952)
- ⑮ W. Selove : Phys.Rev. 84 869 (1951)
- ⑯ Vladimírskij + Radkevič Sokolovskij : Ženovský referát
- ⑰ Egelstaff : Journ.Muc. Energy 1 59 (1954)
- ⑱ Brill, Lichtenberger : Phys. Rev. 72 385 (1947)
- ⑲ Seidl, Hughes, Palevny, Lovin, Kato, Sjöstrand : Phys. Rev. 95 476 (1954)
- ⑳ Jackrot, Netter, Galula : Ženovský referát P 357
- ㉑ Alvarez : Phys. Rev. 54 609 (1938)
- ㉒ Croenewald, Groendijk, Physica XIII. No 1 - 3 (1947)
- ㉓ Havens, Rainwater : Phys. Rev. 89 1123 (1951)
- ㉔ Bergmann, Isakov, Marin, Šapiro, Štěpanich, Kazarnovskij : Ženovský referát P 642
- ㉕ Higinbotham : Ženovský referát P 806
- ㉖ Wiblin : Ženovský referát

O práci J. Juny "Neutronová spektrometrie".

Tato práce má dvě části. V první - kompilačního charakteru - je podán přehled experimentálních metod neutronové spektroskopie v obořu thermálních, resonančních a rychlých neutronů. V druhé části, kterou lze označit do značné míry za původní práci, ^{k uveden} podrobný výpočet mechanických selektorů pro thermální a resonanční neutrony.

V části prvé se autor zmíní o krytalových monochromátorech. Tento přehled je velmi stručný a odráží tak dnešní malou oblibu těchto přístrojů v obořu základního výzkumu. ^K Větší pozornost je věnována methodám založeným na měření doby letu neutronů. V obecném úvodu se uvádějí základní rovnice průletových metod podle některých současných prací. Prospělo by zde hlubší odůvodnění použitých approximací a vzájemné srovnání výrazů pro rozlišovací schopnost, používané různými autory. V oddílu o mechanických selektorech jsou stručně popsány všechny dnes užívané typy mechanických přerušovačů. ^K Rátká stať o pulsovaných urychlovačích používaných jako zdroje neutronů probírá obecné zásady této metody a ilustruje je na 3 konkrétních případech. Poměrně malá zmínka je věnována neutronové spektrometrii s monochromatickými svazky získanými angulární selekcí u terčíku. Rovněž kapitola o neutronových detektorech by zaslouhovala poněkud širšího zpracování, zejména pokud jde o scintilační počítače / neutronů. Oddíl o časových analysátorech používaných v metodě doby letu je zaměřen na moderní typy těchto přístrojů.

V druhé části odvozuje autor základní vztahy pro určení vhodného tvaru štěrbin mechanických selektorů různých fyzikálních a geometrických faktorů s hlediska dosažení optimálního energetického rozlišení a světlnosti spektrometru. Na základě těchto úvah uvádí návrh rotorů pro oboř thermální a resonanční. Velkou předností této části práce je, že je v ní rozpracována teorie rotorů se zakřivenými štěrbinami (v literatuře se dosud této otázce nikdo podrobně nevěnoval) a že přináší prakticky použitelné vztahy pro návrh celého přístroje, četně geometrie kolimátoru, rotačního i detektoru.

I když se autor v práci nezmíní o fyzikální problematice neutronové spektrometrie, lze celkově říci, že prokázal důkladnou znalost metod používajících mechanických selektorů a že dovedl samostatně zvládnout s tím spojené speciální problémy. Několik drobných věcných chyb a nepřesných formulací nezmenšuje její kvalitu.

V Praze dne 19. června 1956.

J. Jun. Študrach

O práci J. Juny "Neutronová spektrometrie".

Tato práce má dvě části. V první - kompilačního charakteru - je podán přehled experimentálních metod neutronové spektroskopie v obořu thermálních, resonančních a rychlých neutronů. V druhé části, kterou lze označit do značné míry za původní práci, podrobný ^{matematický} výpočet mechanických selektorů pro thermální a resonanční neutrony.

V části prvé se autor zmíní o krystalevých monochromátorech. Tento přehled je velmi stručný a odráží tak dnešní malou oblibu těchto přístrojů v obořu základního výzkumu. K větší pozornosti je věnována metodám založeným na měření doby letu neutronů. V obecném úvodu se uvádějí základní rovnice priletových metod podle některých současných prací. Prospělo by zde hlubší odůvodnění použitých approximací a vzájemné srovnání výrazů pro rozlišovací schopnost, používané různými autory. V oddílu o mechanických selektorech jsou stručně popsány všechny dnes užívané typy mechanických přerušovačů. Rátká stat o pulsovaných urychlovačích používaných jako zdroje neutronů probírá obecné zásady této metody a ilustruje je na 3 konkrétních případech. Poměrně malá zmínka je věnována neutronové spektrometrii s monochromatickými svazky získanými angulární selekcí u terčíku. Rovněž kapitola o neutronových detektorech by zaslouhovala poněkud širšího zpracování, zejména pokud jde o scintilační počítače / neutroni. Oddíl o časových analysátorech používaných v metodě doby letu je zaměřen na moderní typy těchto přístrojů.

V druhé části odvozuje autor základní vztahy pro určení vhodného tvaru štěrbin mechanických selektorů různých fyzikálních a geometrických faktorů s hlediska dosažení optimálního energetického rozlišení a světlnosti spektrometru. Na základě těchto úvah uvádí návrh rotorů pro oboř thermální a resonanční. Velkou předností této části práce je, že je v ní rozpracována teorie rotorů se zakřivenými štěrbinami (v literatuře se dosud této otázce nikdo podrobně nevěnoval) a že přináší prakticky použitelné vztahy pro návrh celého přístroje, četné geometrie kolimátoru, rotoru i detektoru.

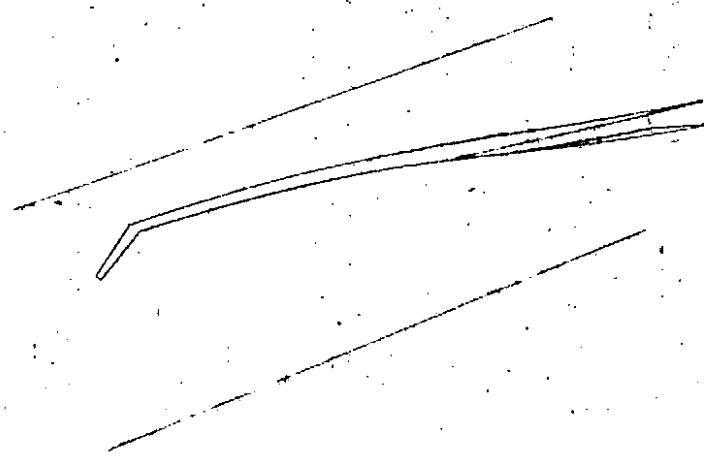
I když se autor v práci nezmíní o fyzikální problematice neutronové spektrometrie, lze celkově říci, že prokázal důkladnou znalost metod používajících mechanických selektorů a že dovedl samostatně zvládnout s tím spojené speciální problémy. Několik drobných věcných chyb a nepřesných formulací nezmenšuje její kvalitu.

V Praze dne 19. června 1956.

J. Škrabach

Výmenné štěrbiny, vytvořené
v aralditu s borem.

Scheme rotoru francouzského selektoru.

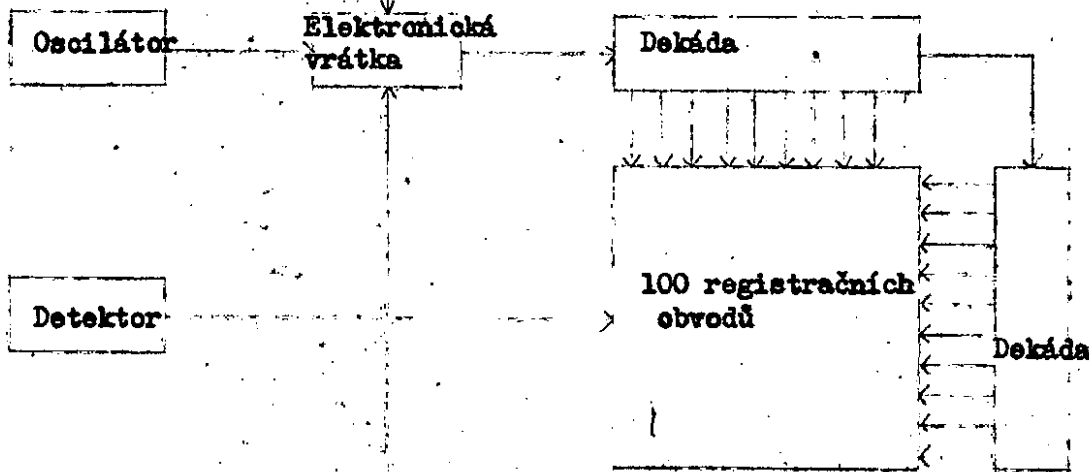


Rotor argonnského selektoru.

Přehled parametrů spektrometrů používaných výruchové.

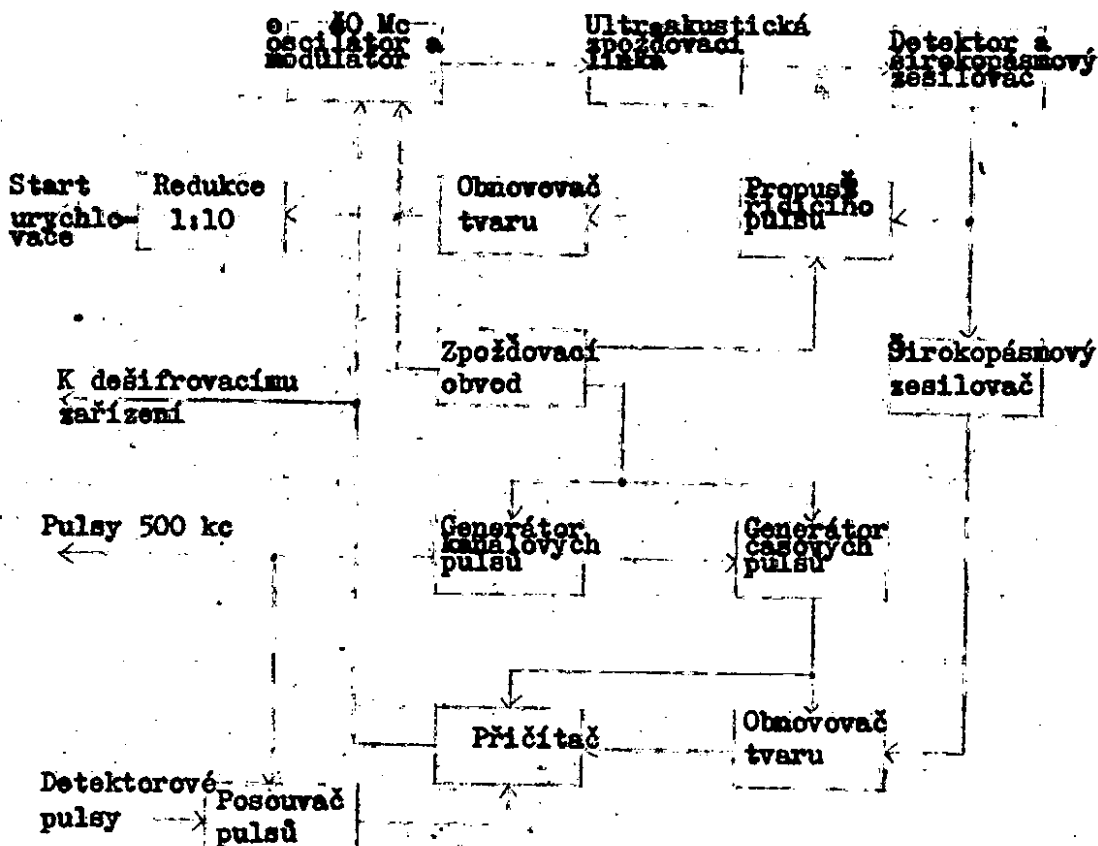
Urychlo-vené častic káotine v HeV km	Energie pulsu	Proud v pulsu	Tízlik na tarci	Špičkový tok neu- záběsku	Trvání tramu v zá- záběsku	Počet ka- nalyzá- taru	Doba me- zi zá- blesky	Vzdále- nost zdro- je od dotektoru	Rozlišo-
Urychlovač s pulsativní transformátorem. Columb.univ.	D^2	0,40	10 mA	$2 \cdot 10^{-3}$	$3 \cdot 10^{-12}$	1 / sec	$5 \cdot 10^{-5}$	$6 \cdot 10^4$	0,5 m
26° cyklotron. Columb.univ.	D^2	8	3 mA	39	$5 \cdot 10^{-13}$	0,5 - 512 / sec.	64	512 - 22.728 / sec.	0,33
60° cyklotron. Brookhaven	D^2	21	1,2 mA	30	$3 \cdot 10^{-14}$	$1,2 \cdot 10^{-5} \text{ sec}$	64	512 - 22.728 / sec.	0,2
Yalicky urychlovač elektřinu	e	5	40 mA	Be	$3 \cdot 10^{-12}$	$0,1 - 2 \cdot 10^{-2}$ / sec	500	$10,000$ / sec.	5 m nebo 15 m 0,14
Betatron General Electric	e	100	20 mA	U	10^{-15}	0,1 / sec.	200	16.667 / sec.	7 m nebo 20 m 0,01
Synchro- cyclotron	Ω^1	360	300 mA	W	10^{-17}	0,05 / sec.	256	16.667 / sec.	35 m 0,014
Van de Graaff v Oak.Ridge	D^2	2,5	50 mA	I	$5 \cdot 10^{-8}$	$0,01 \text{ sec}$	100	2 / sec.	0,8 m 0,013

Fotonásobič

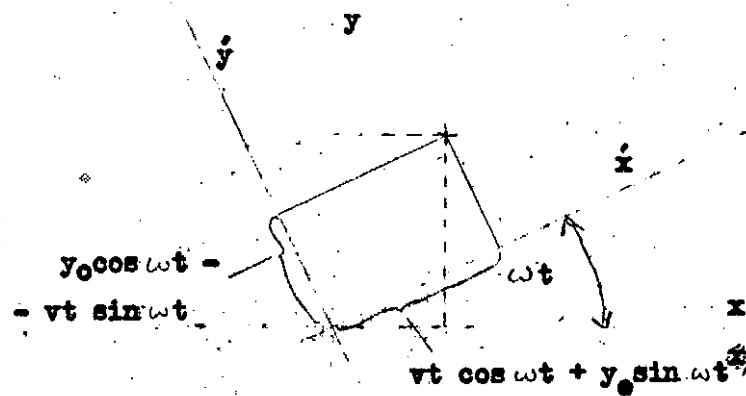


Puls uzavírající elektr.vrátka

Blokové schema maticového analysátoru.



Analysátor, používající ultrazvukové paměti.



K výpočtu dráhy neutronu v rotoru.

K výpočtu nejkratší dráhy rychlého neutronu stěnou mezi štěrbinami.

K výpočtu rychlosti neutronů, jimž přísluší maximální apertura.

K výpočtu efektivní šířky štěrbiny.

Charakteristické veličiny mechanických selektorů (JF).

Ohor energii	10^2 eV	1-300 eV	3 eV
poloměr rotoru	10 cm	8,4 cm	5 cm
pomír sily hliníkových destiček k niklovým	3	6	2,57
Šířka štěrbin	$2,2 \cdot 10^2$ cm	$2,64 \cdot 10^{-2}$ cm $6,34 \cdot 10^{-2}$ cm	$7,37 \cdot 10^{-2}$ cm
max.	$3,14 \cdot 10^3$	$3,14 \cdot 10^3$	$3,14 \cdot 10^3$
výška štěrbin	7 cm	2,5 cm 4,5 cm	7 cm
Šířka systému štěrbin	7 cm	5,54 cm 5,74 cm	3,7 cm
počet štěrbin	78	30 12	14
plošná apertura	$12,3 \text{ cm}^2$	$1,98 \text{ cm}^2$ $2,7 \text{ cm}^2$	$7,22 \text{ cm}^2$
druhá kritická vzdálenost	41 m	39,9 m 15,35 m	14,69 m
minim.vzdálenost pro 256 kanálů analýzátoru	25,6 m	21,8 m	12,8 m
transparence rotoru	0,567	0,621	0,754
počet neutronů dopadajících za jednotku času do detekto- ru v druhé kritické vzdíle- nosti	$I_{0,4,25} \cdot 10^{-9}$	$I_{0,2,1} \cdot 10^{-9}$ $I_{0,3,76} \cdot 10^{-9}$	$I_{0,2,48} \cdot 10^{-6}$
záblesk	0,7 μ sec	1 sec 2,581 μ sec	4,69 μ sec
rozlišovací schopnost doby letu v druhé kritické vzdálenosti	0,017 μ sec/m	0,0251 μ sec/m 0,163 μ sec/m	0,44 μ sec/m
rozlišovací schopnost energií pro logaritmický střed oboru	196%/m	18,76%/m	9,7%/m
rozlišovací schopnost ener- gií pro logaritmický střed oboru v druhé kritické vzdá- lenosti	4,77%	0,47 % 1,222%	0,47 %
rozlišovací schopnost energií pro logaritmický střed oboru ve vzdálenosti	7,66%	0,86%	0,86%
rozlišovací schopnost energií příslušných maximální apertury		12,66%/m	6,9%/m

Rozlišovací schopnost energií příslušných maximální apertury v druhé kritické vzdálenosti		0,316%
		0,821%
Rozlišovací schopnost energií příslušných maximální apertury ve vzdálenosti		0,578%/m
Maximální vzdálenost detektoru od selektoru s podmínky (7)	138 m 32 m 84 m	10.66 m
Rozlišovací schopnost energií prostřed oboru ve vzdálenosti		0,91%
Rozlišovací schopnost energií příslušných maximální apertury ve vzdálenosti		0,648%

TRANSFORMED STANDING WAVE PATTERN

Surf

10

9

8

7

6

5

4

3

2

1

1000 900 800 700 600 500 400 300 200 100 0

1000 900 800 700 600 500 400 300 200 100 0